

РЕЗУЛЬТАТЫ ЭКСПЕРИМЕНТАЛЬНЫХ ИССЛЕДОВАНИЙ ПУСКОВЫХ СВОЙСТВ СУДОВОГО ДИЗЕЛЬ-ГЕНЕРАТОРА

В.А. Рыжов, д.т.н., заслуженный конструктор РФ,
зав. кафедрой ДВС Коломенского института
(филиала) Московского политехнического университета

Представлены результаты исследований пусковых свойств судового дизель-генератора переменного тока с гидромеханической и аккумуляторной системами топливоподачи при запуске двигателя сжатым воздухом. Выявлены основные факторы, влияющие на расход пускового воздуха, время пуска и выхода двигателя на заданный скоростной режим при пуске двигателя из холодного и горячего состояний. Показано, что использование аккумуляторной системы топливоподачи обеспечивает улучшение пусковых свойств двигателя и качество переходного процесса при выходе на заданный скоростной режим.

К важнейшим показателям судовых дизель-генераторов относятся время запуска из различных тепловых состояний, время разгона до заданной частоты вращения, а при пусках сжатым воздухом с подачей его в цилиндры — количество запусков с одной закачки баллонов. В качестве объекта исследований был выбран дизель 8ЧН26/26 специального назначения с генератором переменного тока производства ОАО «Коломенский завод».

Исследования проводились в целях определения оптимальных параметров систем подачи топлива и регулирования, обеспечивающих минимальное время пуска из горячего и холодного исходных состояний дизеля. Сравнительные испытания двигателя были проведены с двумя вариантами систем топливоподачи: гидромеханической и аккумуляторной, спроектированной и изготовленной ОАО «Коломенский завод».

В связи с большим объемом испытаний и в целях сокращения текстовых описаний результатов в статье использованы следующие обозначения:

ГМСТ — гидромеханическая система топливоподачи;

ЭГСТ — электрогидравлическая (аккумуляторная) система топливоподачи;

ГПК — главный пусковой клапан;

n — частота вращения;

$t_{\text{п}}$ — время прокручивания дизеля до начала подачи топлива;

t_y — время впрыска (длительность управляющего импульса);

$t_{\text{п}}$ — общее время пуска;

t_o — время опережения впрыска топлива;

$t_{\text{разг}}$ — время разгона двигателя на топливе при пуске;

$t_{\text{пр}}$ — время до достижения необходимого давления впрыска;

p_a — давление впрыска;

p_{a3} — заданное давление впрыска;

$p_{a \min}$ — минимальное давление впрыска, обеспечивающее устойчивое воспламенение топлива;

p_{\max} — максимальное давление сгорания в цилиндрах;

$p_{\text{возд}}$ — давление воздуха в пусковых баллонах;

$G_{\text{в.р}}$ — средний расход воздуха на пуске;

Θ_o — угол опережения впрыска.

Параметры $t_{\text{п}}$; $t_{\text{пр}}$; p_a ; p_{a3} и $p_{a \min}$ относятся к аккумуляторной системе подачи топлива. Их значения в ходе испытаний изменялись в целях минимизации времени пуска, поскольку возможности гибкого управления параметрами топливоподачи и законами регулирования в ЭГСТ позволяют это сделать. Настройки гидромеханической системы питания при пуске не изменялись из-за ограничений, связанных с обеспечением штатных режимов работы под нагрузкой.

За критерий теплового состояния дизеля принята температура масла в картере. Согласно требованиям ТУ минимальная температура масла, при которой разрешается запуск двигателя, составляет 8 °C («холодный» двигатель). Минимальная температура масла, при которой разрешен прием нагрузки, 45 °C (двигатель «горячий»).

В результате исследования пусковых свойств горячего дизеля установлено следующее.

Время до начала работы регулятора частоты вращения не зависит от параметров ЭГСТ (рис. 1–2). Оно определяется инерционностью движущихся частей дизеля и величиной механических потерь. Величина $t_{\text{п}}$ (рис. 1) для прогретого дизеля составляет 0,45 с.

При варьировании t_o в выбранном диапазоне от 5 до 12 мс устойчивое воспламенение топлива в цилиндрах наблюдается при достижении $p_{a \min} = 10$ МПа.

Экспериментально установлено, что увеличение $p_{a3} > 10$ МПа не сокращает $t_{\text{п}}$ и его составляющих.

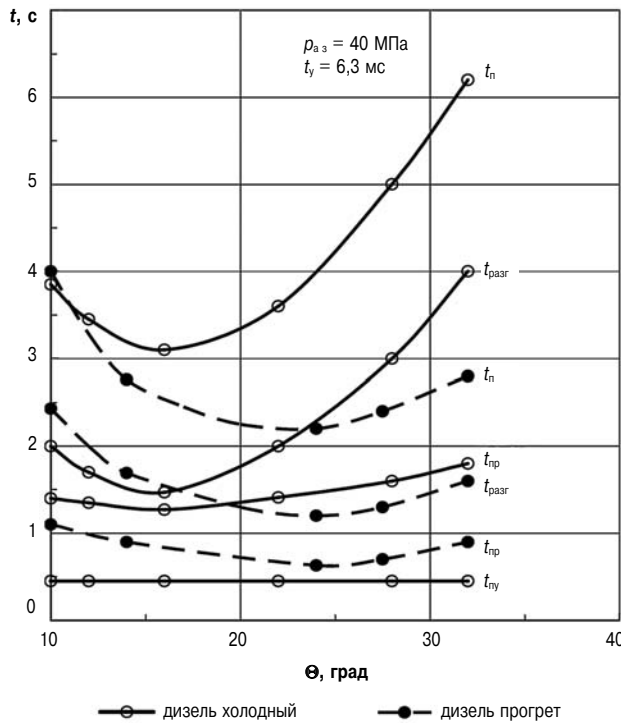


Рис. 1. Зависимость времени пуска и его составляющих от угла опережения впрыска топлива (система ЭГСТ)

Это можно объяснить тем, что время, за которое достигается $p_a = 10$ МПа, определяется только инерцией движущихся частей и механическими потерями дизеля. Некоторое увеличение цикловых подач при $p_a = 10$ МПа и при большем значении p_{a_3} , очевидно не обеспечивает более полного сгорания топлива в цилиндрах.

При варьировании Θ_o в выбранном диапазоне от 10 до 32 град величина $p_{a \min}$, при которой наблюдается начало устойчивого воспламенения, изменяется в зависимости от установленного угла опережения впрыскивания, поэтому изменение величины Θ_o ведет к изменению t_{np} .

Если при задании $\Theta_o = 10^\circ$ устойчивое воспламенение наблюдается с $p_{a \min} = 15$ МПа, то при увеличении Θ_o до 24° величина $p_{a \min}$ снижается до 12,5 МПа. В результате t_{ny} уменьшается с 1,05 до 0,65 (см. рис. 1). Дальнейшее увеличение Θ_o до 32° приводит к повышению $p_{a \min}$ до 13 МПа.

Таким образом, при варьировании Θ_o в выбранном диапазоне от 10 до 32 град, задание $p_{a3} > 15$ МПа нецелесообразно, поскольку величины t_n , t_{np} и t_{pazg} не улучшаются при $p_{a3} > 15$ МПа.

Продолжительность t_{pazg} при неизменном законе регулирования частоты вращения в основном определяется величинами Θ_o или t_o , причем более сильное влияние на t_{pazg} оказывает Θ_o . Например, при пусках с заданием $\Theta_{o \text{ opt}} = 24^\circ$ или $t_{o \text{ opt}} = 10$ мс значение t_{pazg} имеет одну и ту же величину 1,2 с (см. рис. 1, 2). Снижение t_o на 25 %

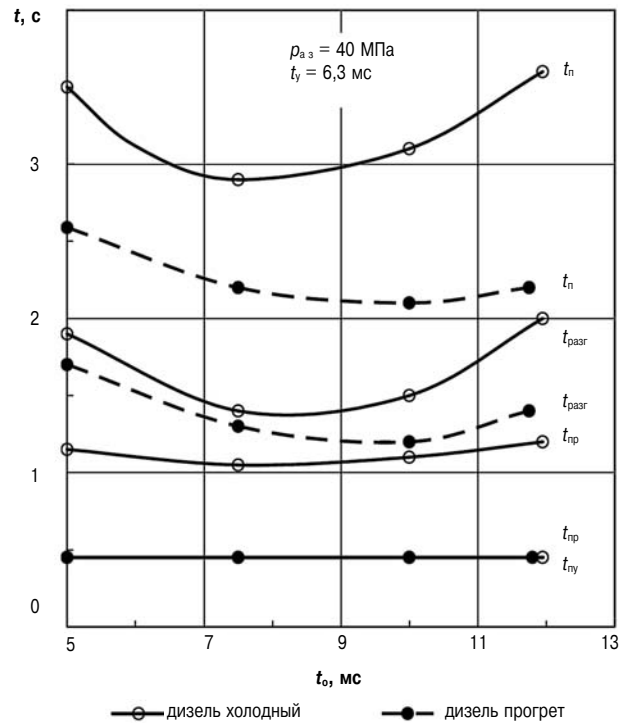


Рис. 2. Зависимость времени пуска и его составляющих от времени опережения впрыска топлива (система ЭГСТ)

ведет к увеличению t_{pazg} на 10 %. Это соотношение основано на том, что заданное значение опережения впрыскивания устанавливается при $n = \text{const}$. В этом случае Θ_o устанавливается пересчетом по t_o , поэтому изменение t_o на 25 % ведет к пропорциональному изменению Θ_o на 25 %.

Изменение Θ_o или t_o и связанное с этим перераспределение топлива в камере сгорания, а также взаимное влияние других факторов на рабочий процесс дизеля, приводят к тому, что при варьировании Θ_o в зонах от 10 до 32 град и от 5 до 10 мс наблюдаются оптимальные значения t_{np} (только при $\Theta_o = \text{var}$), t_{pazg} , а соответственно, и t_n . Наименьшее значение t_n обеспечивается заданием $t_o = 10$ мс и составляет от 2,0 до 2,2 с (см. рис. 2). При переходе на варьирование Θ_o увеличивается t_{np} , а следовательно, и t_n . Оптимальное значение t_n в этом случае обеспечивается заданием $\Theta_o = 24$ град и составляет от 2,2 до 2,5 с.

Поскольку такие составляющие продолжительности процесса пуска t_n , как t_{np} и t_{pazg} имеют более сильную зависимость от Θ_o , чем от t_o , то именно поэтому t_n оказывается в большей зависимости от Θ_o . Изменение Θ_o в меньшую от оптимума сторону на 25 % ведет к увеличению t_n на 20 %, а уменьшение t_o в ту же сторону на 25 % ведет к увеличению t_n на 10 %.

Обычно при пусках горячего дизеля $p_{a3} > p_{a\min}$ на (50–10) %. Это соотношение устанавливается примерно за время от 0,8 до 1,0 с момента начала разгона. Поскольку ТНВД работают на аккумуляторы и основную часть t_n рейка ТНВД находится на упоре, то закон изменения положения рейки в процессе пуска на t_n не влияет. При пусках с заданием Θ_0 или t_0 значение p_{\max} не выходит за пределы 5 МПа.

Изменение длительности управляющего импульса ($t_{y\max}$) от максимально возможной, равной от 6,3 до 5 мс, на t_n не влияет. Дальнейшее снижение $t_{y\max}$ с 5 до 2 мс приводит к увеличению t_n на 3,2 с.

Запуск дизеля при $t_{y\max} = 1,25$ мс осуществить невозможно (рис. 3).

Изменение начального давления воздуха в пусковых баллонах ($p_{\text{возд}}$) в диапазоне от 1,8 до 4,5 МПа заметного влияния на t_n не оказывает. Наименьшее значение $p_{\text{возд}}$, при котором возможен запуск горячего дизеля, составляет 1,5 МПа. Осциллограмма процесса пуска с заданием $t_0 = 10$ мс представлена на рис. 4.

Максимальное число пусков с одной закачки баллонов при оптимальной настройке системы с заданием $t_0 = 10$ мс составляет 16, при среднем значении расхода воздуха на пуск $G_{v\text{ср}} = 0,705$ кг.

ГМСТ обеспечивает 22 пуска с одной закачки баллонов при $G_{v\text{ср}} = 0,623$ кг. При этом t_n составляет от 2,2 до 2,7 с. Меньший расход $G_{v\text{ср}}$ с ГМСТ объясняется тем, что начало разгона дизеля обеспечивается через 0,6 с с момента вклю-

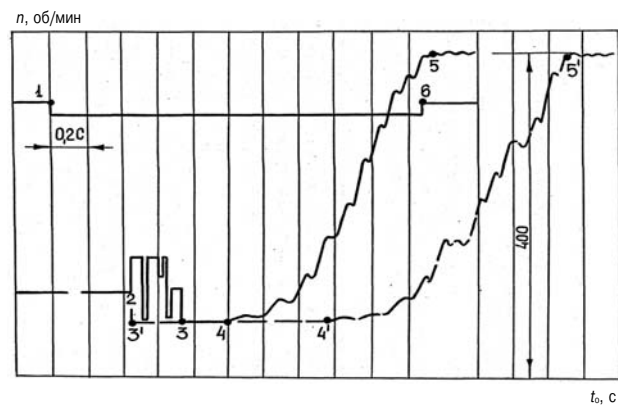


Рис. 4. Осциллограммы пусков дизеля с заданием t_0

чения ГПК. Начало разгона дизеля с ЭГСТ происходит только с момента достижения $p_{a\min}$ и составляет 0,9 с.

Меньшее время пуска дизеля с ЭГСТ обеспечивается сокращением времени разгона двигателя. Если $t_{\text{разг}}$ дизеля с оптимальной настройкой ЭГСТ составляет 1,2 с, то $t_{\text{разг}}$ дизеля с ГМСТ соответствует 1,6 (см. рис. 2).

Таким образом, t_n дизеля с ЭГСТ может быть существенно улучшено за счет сокращения $t_{\text{пр}}$, если перед началом пуска обеспечить p_a , соответствующее $p_{a\min}$ или ускорить его достижение в процессе пуска. ЭГСТ позволяет достигать заданной частоты вращения при пуске без заброса. Величина заброса частоты вращения при разгоне дизеля из горячего состояния с ГМСТ составляет 20 %.

В результате исследования пусковых свойств холодного дизеля установлено следующее.

Поскольку время t_{n_y} определяется временем разгона дизеля до 35 об/мин, то оно не зависит от параметров ЭГСТ и определяется инерцией движущихся частей и величиной механических потерь дизеля. Величина $t_{\text{пр}}$ для холодного дизеля составляет 0,47 с (см. рис. 1, 2).

При варьировании t_0 в диапазоне от 5 до 13 мс и Θ_0 в диапазоне от 10 до 32 град величина $p_{a\min}$ зависит от настройки системы. Минимальная величина $t_{\text{пр}}$ достигается заданием $t_0 = 7,5$ мс и составляет 1,03 с, что соответствует достижению $p_{a\min} = 23$ МПа.

Снижение t_0 на 2,5 мс и увеличение на 5 мс приводят к увеличению $p_{a\min}$ до 24,5 МПа и $t_{\text{пр}}$ на 0,15 с (рис. 1).

При варьировании Θ_0 минимальная величина $t_{\text{пр}}$ составляет 1,2 с и обеспечивается заданием $\Theta_0 = 16$ град, что соответствует достижению $p_{a\min} = 25$ МПа.

Изменение Θ_0 на 6 град в любую сторону приводит к увеличению $p_{a\min}$ до 27 МПа и $t_{\text{пр}}$ до 1,4 с (см. рис. 1).

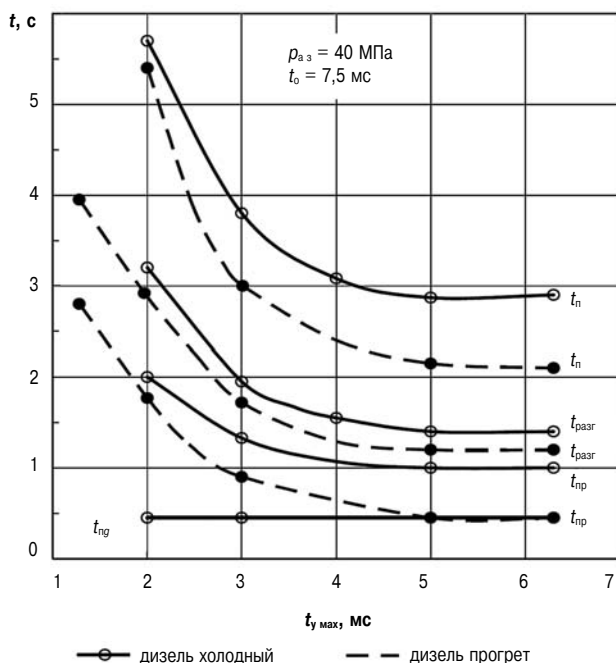


Рис. 3. Зависимость времени пуска дизеля и его составляющих от ограничения длительности управляющего импульса (система ЭГСТ)

Таким образом, $t_{\text{пр}}$ определяется продолжительностью нарастания давления до $p_{\text{a min}}$. При варьировании Θ_0 в выбранном диапазоне наибольшая величина $p_{\text{a min}}$ составляет 27 МПа, поэтому установка $p_{\text{a 3}} > 27$ МПа нецелесообразна. Увеличение $p_{\text{a 3}} > 27$ МПа не сокращает t_n и его составляющих, вероятно, по тем же причинам, что и при пусках горячего дизеля. При варьировании t_0 в выбранном диапазоне аналогичный результат наблюдается с $p_{\text{a 3}} > 24,5$ МПа.

Продолжительность $t_{\text{разг}}$ при неизменном законе регулирования зависит от заданных величин Θ_0 или t_0 . Минимальная величина $t_{\text{разг}}$ составляет 1,4 с и обеспечивается заданием $\Theta_0 = 16$ град или $t_0 = 7,5$ с. Изменение Θ_0 или t_0 приводит к увеличению $t_{\text{разг}}$ (см. рис. 1, 2).

Изменение Θ_0 в любую сторону от оптимального на 25 % приводит к увеличению $t_{\text{разг}}$ на 6,25 % (см. рис. 1).

Увеличение t_0 от оптимального значения на 25 % ведет к увеличению $t_{\text{разг}}$ на 5 %. Снижение t_0 на 25 % приводит к увеличению $t_{\text{разг}}$ на 28,6 % (см. рис. 2).

При варьировании Θ_0 в зоне от 10 до 32 град и t_0 в зоне от 5 до 13 мс наблюдаются оптимальные значения $t_{\text{пр}}$, $t_{\text{разг}}$, а соответственно, и t_n (см. рис. 1, 2).

Наименьшее значение t_n обеспечивается заданием $t_0 = 7,5$ мс и составляет от 2,8 до 3,0 с (см. рис. 2). При переходе к заданию Θ_0 увеличивается $t_{\text{пр}}$, а следовательно, и t_n . Минимальное t_n составляет от 3,0 до 3,2 с и обеспечивается заданием $\Theta_0 = 16$ град.

Обычно при пусках $p_{\text{a 3}} > p_{\text{a min}}$ на (50–100) %. Характерное значение $p_{\text{a min}}$ достигается примерно за (1,2 – 1,3) с с момента начала разгона, то есть основную часть t_n рейка ТНВД находится на упоре.

Величина p_{max} при пусках с заданием t_0 и Θ_0 не превышает 6 МПа.

Изменение $t_y \text{ max}$ в пределах от 5,0 до 6,3 мс на t_n влияния не оказывает. Изменение $t_y \text{ max}$ от 5 до 2 мс ведет к увеличению t_n на 100 % (рис. 2). Пуск двигателя с заданием $t_y \text{ max} < 2$ мс осуществить не удалось.

Изменение начального давления воздуха в пусковых баллонах в диапазоне от 2,5 до 4,5 МПа заметного влияния на t_n не оказывает.

Наименьшее значение $p_{\text{возд}}$, при котором возможен пуск холодного дизеля, — 1,8 МПа.

Максимальное число пусков с одной закачки баллонов при оптимальной настройке системы с заданием $t_0 = 7,5$ мс — 12, что соответствует ТУ на дизель. Средний расход воздуха за пуск $G_{\text{вр}} = 1,18$ кг.

ГМСТ обеспечивает 19 пусков с одной закачки баллонов при $G_{\text{вр}} = 0,741$. При этом t_n находится в диапазоне от 2,9 до 3,2 с.

Меньший расход $G_{\text{вр}}$ с ГМСТ, как и при пусках горячего дизеля, объясняется более ранним началом разгона дизеля. Меньшее t_n с ЭГСТ обеспечивается меньшим $t_{\text{разг}}$. Начало разгона дизеля с ГМСТ обеспечивается через (0,6–0,7) с, а с ЭГСТ через (1,42–1,67) с, $t_{\text{разг}}$ дизеля с ГМСТ 2 с; $t_{\text{разг}}$ дизеля с ЭГСТ 1,5 с.

Таким образом, t_n холодного дизеля, так же, как и горячего, можно существенно улучшить за счет сокращения $t_{\text{пр}}$, ускорив достижение $p_{\text{a min}}$.

Осциллограмма процесса пуска холодного дизеля с заданием $t_0 = 7,5$ мс представлена на рис. 4.

Величина заброса частоты вращения при разгоне холодного дизеля с ГМСТ составляет 30 %. ЭГСТ позволяет достигать заданной частоты вращения без заброса.

Пусковые характеристики со всеми видами нелинейных законов регулирования по всем параметрам аналогичны характеристикам с линейным пропорциональным законом.

При пусках с линейным пропорционально-интегральным законом регулирования заброс по частоте вращения составлял 80 об/мин ($n = 400$ об/мин).

При пусках с линейным пропорционально-интегро-дифференциальным законом регулирования заброс по частоте вращения составлял около 80 об/мин и отмечался колебательный характер окончания переходного процесса, поэтому основная часть исследований пусковых свойств была проведена с линейным пропорциональным законом регулирования частоты вращения.

Таким образом, при оптимальной настройке ЭГСТ обеспечивает снижение времени пуска дизеля по сравнению с ГМСТ.

Основными параметрами, от которых зависит t_n дизеля с ЭГСТ, являются: опережение подачи топлива, продолжительность и давление впрыскивания.

Время пуска дизеля из холодного и горячего состояний, а также средний расход воздуха могут быть существенно улучшены за счет скорости нарастания p_a до $p_{\text{a min}}$. При пусках дизеля с ЭГСТ из холодного и горячего состояний целесообразнее обеспечивать опережение подачи топлива путем задания постоянного времени опережения.

ЭГСТ позволяет достигать заданной при пусках частоты вращения дизеля без заброса по частоте при линейном пропорциональном, нелинейных пропорционально-интегральном и пропорциональном интегрально-дифференциальном законах регулирования частоты вращения.

ЭГСТ позволяет делать запуск дизеля с меньшими $q_{\text{ц}}$, чем ГМСТ.

Таким образом, результаты испытаний позволили установить следующее:

➤ время прокрутки дизеля до начала подачи воздуха в цилиндры зависит от параметров масла, определяющих механические потери и инерционности движущихся масс двигателя;

➤ время разгона двигателя на топливе обеспечивается уровнем давления впрыска, которое для холодного двигателя составляет 10 МПа, а для горячего 7,5 МПа;

➤ при использовании экспериментальных систем регулирования частоты минимальное время пуска достигается без заброса по частоте вращения;

➤ вязкостно-температурные характеристики масла оказывают существенное значение на время пуска и затраты энергии на прокручивание двигателя;

➤ законы регулирования частоты вращения на время разгона двигателя влияния не оказывают;

➤ кроме учета вязкостно-температурных ограничений по маслу при моделировании процессов пуска необходимо учитывать угол опережения подачи топлива;

➤ оптимальное время пуска, при прочих ограничениях, достигается заданием постоянного времени опережения, обеспечивающего изменение

угла опережения впрыска от минимально допустимого, при котором достигается максимальная температура воздуха в конце сжатия, до максимального, при достижении заданной частоты вращения;

➤ при пуске холодного двигателя предпочтительнее обеспечить многофазный впрыск с коррекцией по опережению подачи топлива.

Литература

1. Рыжов В.А. Повышение эффективности дизеля 8ЧН26/26 на режимах работы маневрового тепловоза // Тезисы докладов научной конференции Моск. Гос. открытого университета. Коломна, 1999.

2. Крупский М.Г., Кузин В.Е., Рыжов В.А. Результаты испытаний дизеля 2ЧН26/26 с микроэлектронной аккумуляторной системой подачи топлива // Тезисы докладов научной конференции Моск. Гос. открытого университета. Коломна, 1999.

3. Рыжов В.А. Ткачев В.Т. Резервы уменьшения расхода топлива и масел // Локомотив. — 2013. — № 3. — С. 40–42.

4. Рыжов В.А. Совершенствование характеристик форсированных среднеоборотных двигателей двойного назначения средствами топливоподачи и воздухо-снабжения. Дис. ... д-ра техн. наук. Москва, 2018. 325 с.

5. Раенко М.И., Рыжов В.А. Оценка прочностной надежности крышек цилиндров транспортных дизелей по критерию долговечности // Двигателестроение. — 2012. — № 1. — С. 7–17.